

شبیه سازی رفتار حالت پایدار ژنراتور القایی تکفاز خودتحریک

باپک عابد آشتیانی

کارشناس ارشد برق - شرکت مشانیر

حمید لسانی

دانشیار گروه مهندسی برق و کامپیوتر - دانشکده فنی - دانشگاه تهران

(تاریخ دریافت ۷۶/۹/۲۹، تاریخ تصویب ۷۷/۱۰/۲۶)

چکیده

در این مقاله عملکرد پایدار ماشین القایی تکفاز قفس سنجابی بنوان یک ژنراتور خود تحریک مورد بررسی قرار گرفته است. از بانک خازنی بنوان تامین کننده توان راکتیو مورد لزوم استفاده شود، تا آن را تحریک کرده و ولتاژ مطلوب را در ترمینالهای ژنراتور برای بارهای مختلف ثابت کند. یک روش تحلیلی که از مدار معادل تکفاز و تکنیک عددی نیوتون - رافسن استفاده می کند جهت محاسبه ظرفیت و فرکانس تولیدی برای یک ولتاژ ثابت دلخواه در بار و سرعت مفروض بکار برده می شود. در مرحله بعد با فرض استفاده از خازن تحریک ثابت و همچنین روش جبرانسازی افت ولتاژ توسط خازن سری، عملکرد ژنراتور در استفاده از آرایشهای مختلف خازن تحریک (موازی) و سری مورد مقایسه قرار گرفته است.

کلید واژه ها: ژنراتور القایی خودتحریک، ماشین القایی تکفاز، جبرانسازی افت ولتاژ

مقدمه

VAR خازنی) ترمینالهای ژنراتور، در بارهای مختلف

می باشد.

خبراً کوشش‌های زیادی برای آنالیز عملکرد ژنراتورهای القایی سه فاز تحریک شده توسط خازن صورت گرفته است [۳-۹]، اما کار هدفداری در ارتباط با تجزیه و تحلیل ژنراتور القایی خود تحریک تکفاز تک سیم پیچه به انجام نرسیده هرچند بررسی در این مورد بعلت کاربردهای فراوان مقیاس کوچک آن همچون مولد اضطراری، تولید توان در سطوح پایین برای روشنایی در مناطق دور افتاده و ایزووله از شبکه و منبع تغذیه قابل حمل و غیره بیشتر قابل توجه می باشد.

در این مقاله سعی شده است تا روندی تحلیلی جهت تعیین مقدار خازن مورد لزوم برای ثابتی ولتاژ مطلوب در سرعت ثابت و بارهای متفاوت ارائه گردد. این

استفاده از ژنراتور القایی خود تحریک خازنی جهت

تولید توان الکتریکی از منابع انرژی غیرمعمول همچون باد، بیوگاز، توربینهای آبی کوچک و غیره، بخصوص در محلهای دور افتاده و مجازی از شبکه، روز بروز عمومیت بیشتری پیدا می کند که ناشی از مزایای فراوان این نوع ژنراتور نسبت به ژنراتورهای سنکرون معمول می باشد. از جمله این مزایا می توان به ساختمان بدون جاروبک روتور قفسه ای، ابعاد کاهش یافته، عدم نیاز منبع dc مجزا جهت تحریک، کمترین احتیاج به نگهداری، استحکام مکانیکی روتور و از همه مهمتر قیمت پایین آن اشاره کرد [۱-۵].

علاوه ساده ترین وسیله جهت ثابت نگه داشتن ولتاژ آن در یک سرعت معین، تامین تحریک مورد لزوم

بوده و I_{2f} ، I_{2b} ، I_m به ترتیب جریان استاتور، جریانهای روتور ناشی از میدانهای مستقیم و معکوس و جریان بار انتقال داده شده به استاتور می‌باشد و V_t ، V_g ولتاژهای ترمینال و فاصله هوایی ماشین هستند. برای محاسبه مقدار مناسب ظرفیت در مدار معادل شکل (۱)، X_c و F پارامترهای نامعلوم می‌باشند و روند محاسبه آنها به ترتیب زیر است:

$$Z_T I_t = 0 \quad (1)$$

$$Z_T = Z_L + Z_I + Z_{2f} + Z_{2b} \quad (2)$$

که در آن :

با جانشین کردن امپدانسهای ذیل :

$$Z_L = \left(\frac{R_L}{F} + jX_L \right) \left(-j \frac{X_C}{F^2} \right) \quad (\text{الف} - 3)$$

$$Z_I = \frac{R_{Im}}{F} + jX_{Im} \quad (\text{ب} - 3)$$

$$Z_{2f} = j \frac{X_m}{2} \left(\frac{R_2}{2(F-V)} + j \frac{X_2}{2} \right) \quad (\text{ج} - 3)$$

$$Z_{2b} = j \frac{X_m}{2} \left(\frac{R_2}{2(F+V)} + j \frac{X_2}{2} \right) \quad (\text{د} - 3)$$

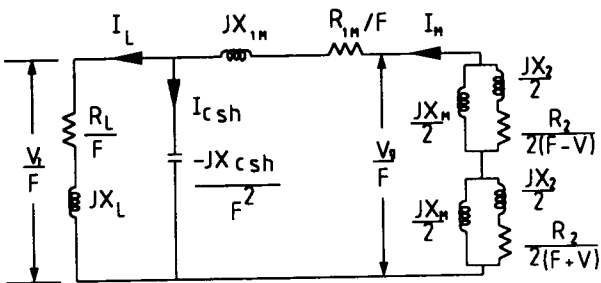
و با توجه به آنکه، تحت شرایط تحریک پایدار $I_L \neq 0$ می‌باشد. بنابراین از معادله (۱) نتیجه می‌گیریم $Z_t = 0$. این معادله با جانشین سازی معادلات (۲) و (۳) و (۴) جداسازی آن به قسمتهای حقیقی و موهومی به دو معادله غیرخطی حبری بر حسب X_c و F تبدیل می‌شود که در روابط (۴) و (۵) نشان داده شده است [۱۰].

تکنیک از مدار معادل استاندارد برای رسیدن به معادلات جبری غیرخطی بر حسب پارامترهای نامعلوم (راکتانس خازنی و فرکانس تولیدی) استفاده می‌کند و روش نیوتن – رافسن را برای حل آنها بکار می‌برد. حد بالای توان قابل تولید را ماکزیمم مجاز جریان (سیم پیچ استاتور)، محدود می‌سازد. همین تکنیک عددی برای حل پارامترهای مجھول مداری در حالت استفاده از روش جبرانسازی با خازن سری بکار برده می‌شود.

تحلیل ژنراتور القایی تکفاز جهت ثابت ولتاژ ترمینال مدلسازی ژنراتور

در این تحلیل فرض بر آن است که تمام پارامترهای ماشین بجز راکتانس مغناطیس کننده که تحت تأثیر اشباع مغناطیسی می‌باشد، ثابت هستند. از اثر هارمونیکهای فضائی، در ولتاژ القایی و همچنین تلفات هسته صرفنظر می‌شود.

مدار معادل حالت پایدار ژنراتور القایی تکفاز با توجه به تئوری میدان گردان در شکل (۱) نشان داده شده است [۶].



شکل ۱: مدار معادل ژنراتور القایی تکفاز.

که در آن R_{1m} و R_2 به ترتیب مقاومت‌های استاتور و روتور منتقل شده به طرف استاتور و X_1m و X_2 به ترتیب راکتانس‌های نشتی استاتور و روتور منتقل شده به طرف استاتور می‌باشد. X_m راکتانس مغناطیس کننده و X_c راکتانس خازنی، R_1 و X_1 به ترتیب مقاومت و راکتانس بار، F ، V به ترتیب فرکانس و سرعت پریونیت

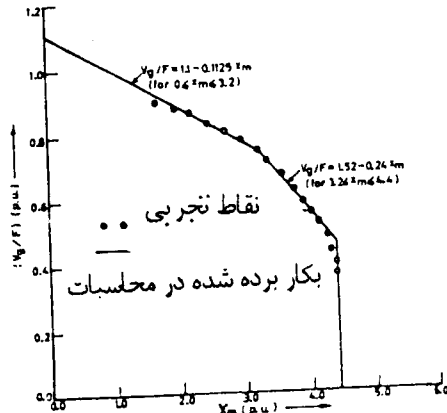
در انتهای تکرار اول، X_C ، F مقادیر زیر را طی پروسه ارضاء معادلات (۴) و (۵) خواهند داشت.

مقادیر ΔF و ΔX_C عبارتند از:

$$\begin{bmatrix} \Delta X_C \\ \Delta F \end{bmatrix} = \begin{bmatrix} J_{11} & J_{12} \\ J_{21} & J_{22} \end{bmatrix}^{-1} \begin{bmatrix} -f_0 \\ -g_0 \end{bmatrix} \quad (9)$$

که در آن ژاکوبین های J_{11} ، J_{12} ، J_{21} و J_{22} عبارتند از:

$$J_{11} = \frac{\partial f}{\partial X_C}, J_{12} = \frac{\partial f}{\partial F}, J_{21} = \frac{\partial g}{\partial X_C}, J_{22} = \frac{\partial g}{\partial F} \quad (10)$$



شکل ۲: تغییرات (Vg/F) بر حسب Xm از تست سنکرون ماشین.

$f(X_C, F)$ و $g(X_C, F)$ اندازه های معادلات (۴) و (۵) بازه مقادیر اولیه X_C و F می باشند. روند تکرار تا زمان ارضاء معیارهای $|g(X_C, F)| \leq \epsilon$ همگرایی یعنی $|f(X_C, F)| \leq \epsilon$ در آن ϵ یک مقدار بسیار کوچک مطلوب برای دقت محاسبات می باشد، ادامه خواهد یافت. یک برنامه کامپیوتری برای این منظور نوشته شده تا مقادیر ثابت پایدار X_C و F را در سرعت و بار معین برای ثابت نگه داشتن ولتاژ ترمینال محاسبه کند.

با دانستن مقادیر X_C و F در یک ولتاژ ترمینال ثابت، دیگر پارامترهای رفتاری ماشین را می توان از مدار معادل شکل (۱) و مطابق معادلات زیر بدست آورد.

$$I_L = \frac{V_t}{Z_L}, P_0 = R_L I_L^2, Q_C = X_C (I_L - I_L)^2 \quad (11)$$

که در آن Q_C ، P_0 خازنی مورد لزوم برای تثبیت ولتاژ ترمینال در توان خروجی P_0 می باشد.

$$\begin{aligned} f(X_C, F) &= F^5(C_1) + F^3(C_2 + C_3 X_C) \\ &+ F(C_4 + C_5 X_C) = 0 \end{aligned} \quad (4)$$

$$\begin{aligned} g(X_C, F) &= F^4(D_1) + F^2(D_2 + D_3 X_C) \\ &+ (D_4 X_C) = 0 \end{aligned} \quad (5)$$

مقادیر ثابت C_1 تا C_5 و D_1 تا D_4 در ضمیمه ۱ آمده است.

معادلات (۴) و (۵) معادلات غیرخطی جبری بوده و یک روش عددی مناسب باید جهت محاسبه مقادیر F و X_C برای اندازه های مفروش بار (RI) و سرعت (V) بکار رود. در این بررسی، روش نیوتن - رافسن جهت حل معادلات (۴) و (۵) مناسب به نظر می رسد. این روش به حدسهای اولیه متغیرهای مجھول یعنی X_C و F نیاز دارد. چون $F \approx V$ بوده و X_C در شرایط نامی به مقدار غیر اشباع X_m نزدیک می باشد. بنابراین مقادیر اولیه بترتیب زیر انتخاب می شوند.

$$F_0 = V, X_{Co} = X_{mr(\\text{Unsaturated})} \quad (6)$$

تمام مقادیر ثابت ضمیمه ۱ شامل پارامترهای ماشین، مقاومت بار و سرعت می باشند. خارج از این پارامترها فقط راکتانس مغناطیس کننده وابسته به منحنی مغناطیس کننده ماشین می باشد. این مشخصه به فرم رابطه بین (Vg/F) با X_m می باشد. منحنی مشخصه ماشین در شکل (۲) نشان داده شده است. در تابعه اشباع منحنی می تواند بشكل تابعی خطی بیان شود.

$$Vg/F = K_1 - K_2 X_m \quad \text{یا}$$

$$X_m = \frac{(K_1 - Vg/F)}{K_2} \quad (7)$$

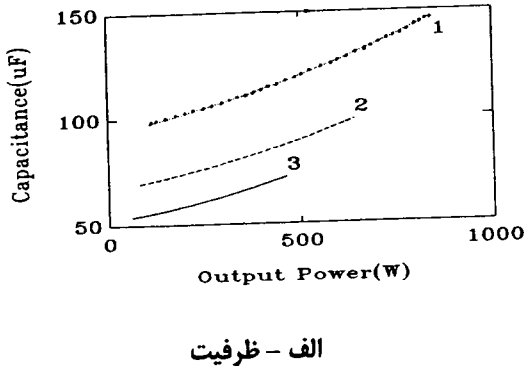
$$\begin{aligned} \text{که در آن } K_1, K_2 \text{ نوابتی هستند که وابسته به نحوه طراحی ماشین می باشد. برای مقادیر مفروض } X_C \text{ و } F, \\ Vg \text{ را می توان برای ولتاژ ترمینال مطلوب محاسبه نمود.} \\ V_g = V_t + \left(\frac{V_t}{Z_L} \right) Z_1 \end{aligned} \quad (8)$$

حال متناظر با Vg معادله (۸)، X_m از معادله (۷) بدست آمده و برای محاسبات بعدی مورد استفاده قرار می گیرد.

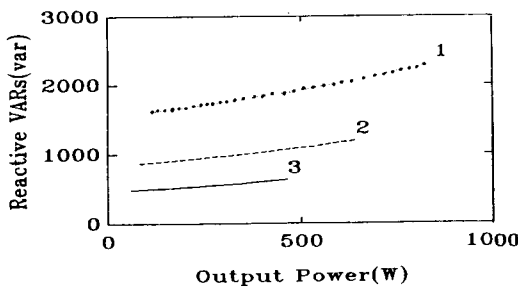
تحليل نتائج

شکل (۴) تغییرات ظرفیت و ولت آمپر راکتیو را با توان خروجی برای سطوح مختلف ولتاژ ثابت ترمینال و سرعت نامی نشان می دهد. مقادیر مورد لزوم خازن و VAR متناظر با آن برای ثبیت اندازه ولتاژ خروجی با افزایش توان خروجی بیشتر می شود. در یک توان خروجی ثابت، برای سطوح پایین تر ولتاژ اندازه خازن مورد لزوم کاهش می یابد.

علت آن در کاهش اندازه تحریک لازم در فلوهای پایین بدلیل کاهش اندازه ولتاژ ترمینال می باشد.



الف - ظرفیت



ب - توان راكتيو

شکل ۴: تغییرات ظرفیت و VAR با توان خروجی جهت تثبیت ولتاژ ترمینال در سرعت ثابت.

در شکل (۵) تغییرات فرکانس و جریان استاتور در ماشین با توان خروجی در سرعت نامی و ولتاژ ترمینال ثابت نشان داده شده است. جریان استاتور با بار افزایش می‌یابد. در حالی که در توانهای خروجی بالا یک کاهش کوچک در فرکانس قابل مشاهده می‌باشد. افزایش جریان استاتور ناشی از افزایش جریانهای تحریک و بار در ولتاژ ثابت ترمینال می‌باشد. افت فرکانس بعلت افزایش لغزش در سرعت ثابت در توانهای خروجی بالا می‌باشد.

بالاستفاده از فرمولاسیون فوق یک برنامه کلی کامپیووتری نوشته شده است که رفتار ماشین را در سرعت ثابت و مقادیر مختلف بار برای ولتاژ ترمینال مطلوب بدست می دهد. فلوچارت این برنامه کامپیووتری در شکل (۳) نشان داده شده است. در این تحقیق تمام مطالعات روی یک ماشین تکفاز القایی قفس سنجابی بقدرت ۱ اسب بخار، ۲۲۰ ولت، ۵۰ آمپر، ۷/۱ هرتز انجام می گیرد که فقط از سیم پیچ اصلی آن بعنوان ژنراتور خود تحریک استفاده شده است.

$$R_{lm} = 0.0578 P.U., R_2 = 0.1136 P.U.,$$

$$X_{1m} = X_2 = 0.1177 P.U.$$

از طرف دیگر برای این ماشین مقادیر ثابت K1 و K2 معادله (۷) در نواحی اشباع عبارتند از :

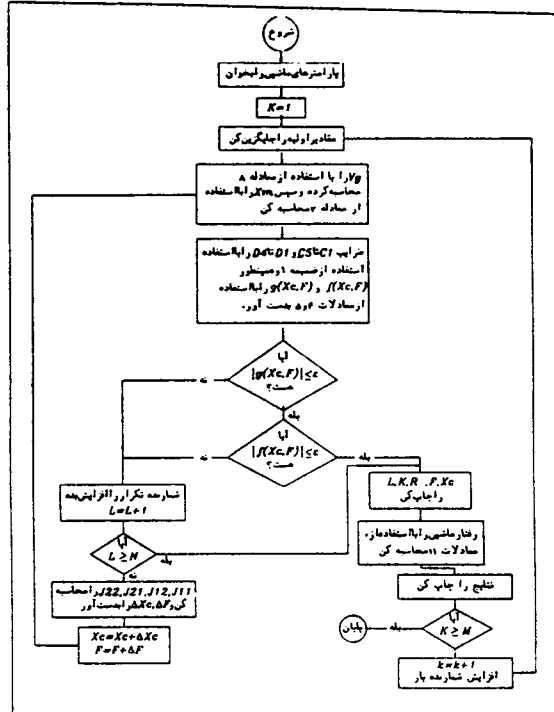
برای $K_1=1.1$ P.U., $K_2=0.1125$ P.U.

$$0.745 \leq \frac{V_g}{F} \leq 1.1$$

برای $K_1=1.52$ P.U., $K_2=0.24$ P.U.

$$0.45 \leq \frac{V_g}{F} \leq 0.745$$

این مقادیر به روش تقریب خطی از منحنی اشباع ماشین بدست آمده اند.

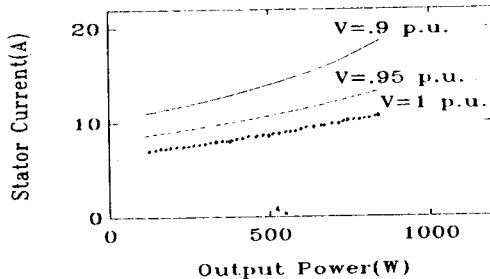


شکل ۳ : فلوچارت برای محاسبه رفتار ژنراتور در ولتاژ ترمیتال ثابت.

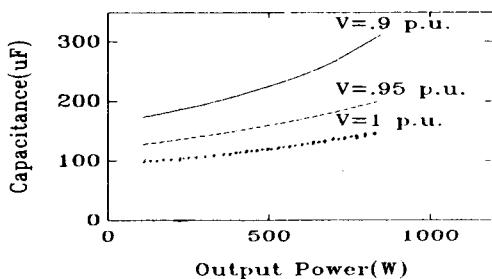
می توان ماکریزمم توان را از ماشین دریافت کرد . در ولتاژ نامی مقدار کوچکتری از توان در جریان و سرعت نامی قابل دریافت می باشد.

با این بات اعتبار الگوریتم فوق ، از آن جهت مطالعه اثر سرعت روی رفتار ژنراتور استفاده می شود. برای این منظور تغییرات ظرفیت و جریان استاتور با توان خروجی در سرعتهای مختلف برای ولتاژ ترمینال ثابت در شکل (۷) نشان داده شده است.

از این شکل می توان پی برد که ظرفیت لازم و جریان استاتور هر دو بدلیل افزایش تحریک در مقادیر پایین سرعت و همینطور افزایش توان خروجی ، بیشتر می شوند.



الف - جریان استاتور

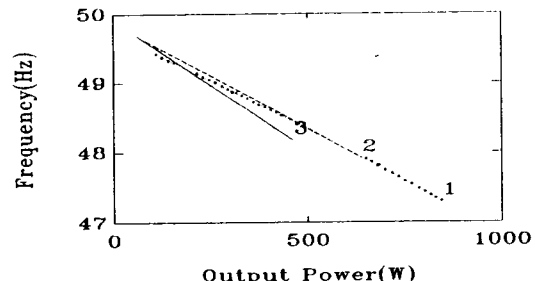


ب - ظرفیت

شکل ۷ : اثر سرعت روی تغییرات جریان استاتور و ظرفیت بر حسب توان خروجی جهت تثیت ولتاژ ترمینال.

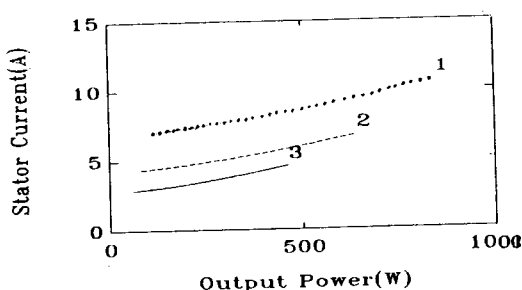
شکل (۸) تغییرات توان خروجی با ولتاژ ترمینال را برای جریان استاتور نامی و بازاء سرعتهای مختلف نشان می دهد.

کاهش سرعت ، ماکریزمم توان قابل دسترسی توسط ماشین را کاسته و بدنبال آن ولتاژ ترمینال متناظر نیز کاهش می یابد. با این حال ، فلوی (Vg/F) ماشین تحت شرایط کار در ولتاژ بهینه ، در سرعتهای مختلف



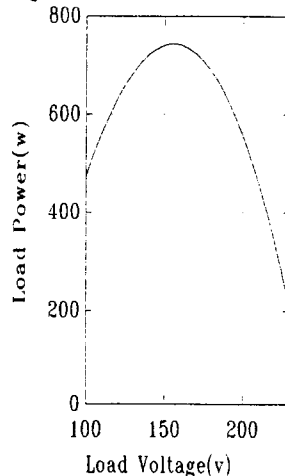
الف - فرکانس

1- $V_t=230V$ 2- $V_t=200V$ 3- $V_t=170V$



ب - جریان استاتور

شکل ۵ : تغییرات جریان استاتور و فرکانس با توان خروجی جهت تثیت ولتاژ ترمینال در سرعت نامی.



شکل ۶ : تغییرات توان خروجی با ولتاژ ترمینال در سرعت و جریان استاتور نامی.

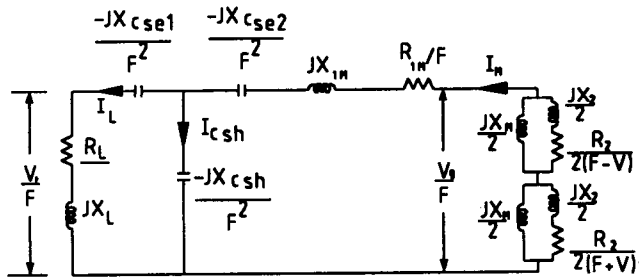
تغییرات توان خروجی با ولتاژ ترمینال برای مقدار نامی جریان استاتور و سرعت خازن در شکل (۶) نشان داده شده است. ماکریزمم توان خروجی در ولتاژ ۱۶۰ ولت در سرعت نامی و یک افت ناگهانی توان در ولتاژهای بالا را می توان از این شکل مشاهده نمود. همانطور که در این شکل می توان دید در حالی که در ولتاژ ۱۶۰ ولت

در این قسمت عبارتند از Xm و F که در دو معادله غیرخطی، ناشی از صفر قراردادن امپدانس حلقه ظاهر می‌شود. برای محاسبه توانهای ورودی، خروجی و راندمان در کلیه آرایشهای فوق از معادلات (۱۲) تا (۱۴) استفاده می‌شود.

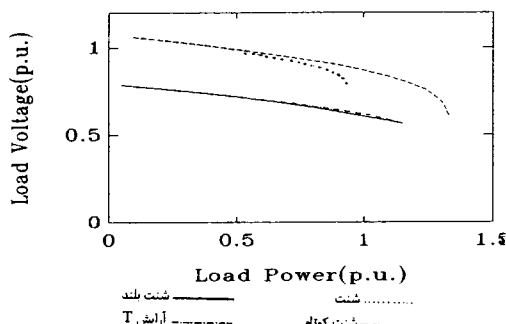
$$P_{in} = \frac{|I_{fr}|^2 R_2 F}{2(F-V)} - \frac{|I_{br}|^2 R_2 F}{2(F+V)} \quad (12)$$

$$P_L = R_L |I_L|^2 \quad (13)$$

$$\eta = \frac{P_{out}}{P_{in}} \quad (14)$$



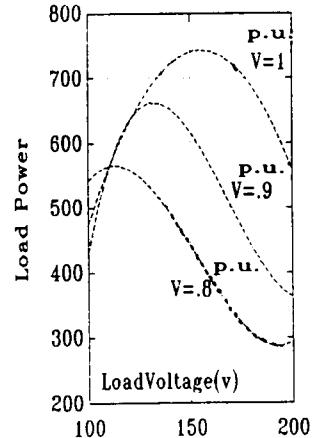
شکل ۹: مدار معادل ژنراتور القایی تکفاز با آرایش T.



شکل ۱۰: مقایسه بین مشخصه های بار آرایشهای مختلف ژنراتور القایی تکفاز.

شکل (۱۰) مقایسه بین مشخصه های بار آرایشهای مختلف و شکل (۱۱) مقایسه بین راندمان آنها را نشان

ثابت می‌ماند. بنابراین می‌توان چنین نتیجه گرفت که این ماشین در سرعتهای مختلف تحت شرایط فلوی ثابت قادر به تحويل ماکزیمم توان خود می‌باشد.



شکل ۸: اثر سرعت روی تغییرات توان خروجی با ولتاژ ترمینال در جریان نامی استاتور.

این نتایج اطلاعات لازم، جهت طراحی سیستم کنورتور و تنظیم ولتاژ را برای ژنراتورهایی که توسط محرکهای اولیه با سرعت متغیر راه اندازی می‌شوند فراهم می‌آورد. این کنورتورها از روش PWM توسط جبرانگرهای تریستوری جهت تنظیم ولتاژ و فرکانس استفاده می‌نمایند [۱۲]. در بخش بعدی بدلیل هزینه کمتر و نگهداری آسانتر روش استفاده از خازنهای جبرانساز جهت جبران افت ولتاژ معرفی می‌گردد.

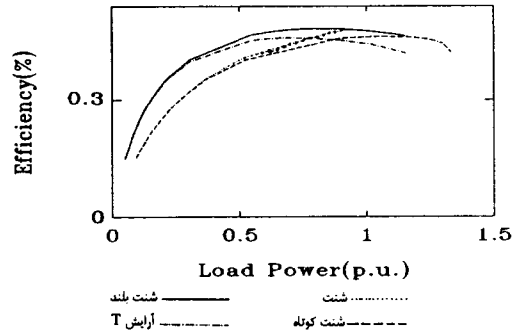
استفاده از خازن سری جهت جبرانسازی افت ولتاژ بازه خازن تحریک ثابت [۱۱, ۱۳]

یکی از روشهای کنترل ولتاژ خروجی استفاده از خازن جبرانسازی سری جهت جلوگیری از افت بیش از حد ولتاژ می‌باشد. در این تکنیک آرایشهای مختلفی برای اتصال خازنهای سری و تحریک وجود دارد. مدار کلی این روش جبرانسازی که اصطلاحاً آرایش T خوانده می‌شود در شکل (۹) نشان داده شده است. با حذف هریک از خازنهای Cse2 و Cse1 و یا هردو بترتیب به مدار معادل آرایش شنت کوتاه، شنت بلند و یا شنت می‌رسیم که روش حل مجهولات در مدارات مربوطه طبق روند ارائه شده در بند ۲ مقاله می‌باشد با این تفاوت که مجهولات

اندازه مطلوب یک روش تحلیلی ارائه شده است. همچنین برای استفاده بهینه از ظرفیت ماشین یک بررسی در مورد ماکریمیم توان قابل دسترسی و ولتاژ متناظر با آن در جریان نامی، و سرعت ثابت بانجام رسیده است. از طرف دیگر، بمنظور توسعه کاربرد ژنراتور به محركهای با سرعت متغیر اثر سرعت روتور نیز مورد مطالعه قرار گرفته است، که از آن می‌توان نتیجه گرفت که برای بهره برداری بهینه از توان ماشین در سرعتهای مختلف، باید از آن در شرایط فلوی ثابت بهره برداری نمود.

از نتایج حاصل می‌توان در طراحی سیستم کنورتور و یا تنظیم کننده ولتاژ ژنراتور با خازن متغیر استفاده نمود. در روش جبرانسازی افت ولتاژ با خازن‌های ثابت سری و موازی ملاحظه گردید آرایش شنت کوتاه بهترین مشخصه بار و آرایش شنت بلند بهترین مشخصه راندمان را نشان می‌دهد.

می‌دهند و همانطور که ملاحظه می‌شود آرایش شنت کوتاه بهترین مشخصه بار را از لحاظ افت ولتاژ داراست و آرایش شنت بلند بهترین مشخصه راندمان را نشان می‌دهد.



شکل ۱۱ : مقایسه بین مشخصه راندمان آرایشهای مختلف ژنراتور القابی تکفار.

نتیجه گیری

در این مقاله برای محاسبه ظرفیت و توان راکتیو لازم ژنراتور القابی تکفار جهت ثبیت ولتاژ خروجی آن در

مراجع

- 1 – Novotny, D. W., Gritter, D. J. and Studtmann, G. H. (1977). "Self excitation in inverter driven induction machine." *IEEE Trans. On PAS*, Vol. 96, No. 4, 1117-1125.
- 2 – Arrillaga, and Watson, D. B. (1978). "Static power conversion from self-excited induction generators." *Proc. IEE*, Vol. 125, No. 8, 743-746.
- 3 – Raina, G. and Malik, O. P. (1983). "Wind energy conversion using a self-excited induction generator." *IEEE Trans. On PAS*, Vol. 102, 3933-3936.
- 4 – Murthy, S. S., Malik, O. P. and Tandon, A. K. (1982). "Analysis of self-excited induction generators." *Proc. IEE*, Vol. 129, Pt. C. No. 6, 260-265.
- 5 – Tandon, A. K., Murthy, S. S. and Berg, G. J. (1984). "Steady state analysis of capacitor self-excited induction generators." *IEEE Trans. On PAS*, Vol. 103, No. 3, 612-618.
- 6 – Veinott, C. G. (1959). *Theory and design of small induction motors*. McGraw-Hill Book Company.
- 7 – Chan, T. F. (1995). "Analysis of self-excited induction generators using an iterative method." *IEEE Trans. On E. C.*, Vol. 10, No. 3, 502-507.
- 8 – Salama, M. H., Holmes, P. G. (1996). "Transient and steady-state load performance of a stand-alone self-excited induction generator." *IEE Proc. Electr. Power Appl.*, Vol. 143, No. 1, 50-58.
- 9 – Shriadhar, L. and Jha, C. S. (1993). "A step towards improvements in the characteristics of self-excited induction generators." *IEEE Trans. On E. C.*, Vol. 8, No. 1, 40-46.
- 10 – Aljabri, A. K. and Alolah, A. L. (1990). "Capacitance requirement for isolated, self-excited induction generator." *IEE. Proc.*, Vol. 137, 154-159.

- 11 – Bim, E., Szanjer, J. and Burian, Y. (1989). "Voltage compensation of an induction generator with long-shunt connection." *IEEE Trans. on Energy Conversion*, Vol. 4, No. 3, 526-530.
- 12 – Muljadi, E. and Lipo, T. A. (1994). "Series compensated PWM inverter with battery supply applied to an isolated induction generator." *IEEE Trans. on Industry Applications*, Vol. 30, No. 6, 1073-1082.
- ۱۳ – عابد آشتیانی، ب. "شبیه سازی ژنراتور القایی تکفاز خودتحریک .". پایان نامه کارشناسی ارشد، دانشکده فنی، دانشگاه تهران ، (۱۳۷۶).

ضمیمه ۱

$$\begin{aligned}
 C1 &= X1m^*X2^*2*Xl+2*X1m^*X2*Xl*Xm+X2^*Xl^*Xm+X1m^*Xl^*Xm^2+X2^*Xl^*X \\
 m^2 & \\
 C2 &= -2*R2^*Rl^*X1m^*X2^*2-R2^*2*X1m^*Xl-2*R1m^*R2^*X2*Xl- \\
 V^*2*Xlm^*X2^*2*Xl-2*R2^*Rl^*X1m^*Xm-2*R1m^*Rl^*X2^*Xm- \\
 2*R2^*Rl^*X2^*Xm-2*R1m^*R2^*Xl^*Xm-R2^*2*Xl^*Xm- \\
 2*V^*2*Xlm^*X2^*Xl^*Xm-V^*2*X2^*2*Xl^*Xm-R1m^*Rl^*Xm^2-R2^*Rl^*Xm^2- \\
 V^*2*Xlm^*Xl^*Xm^2-V^*2*X2^*Xl^*Xm^2 \\
 C3 &= -(X1m^*X2^*2)-X2^*2*Xl-2*X1m^*X2^*Xm-X2^*2*Xm-2*X2^*Xl^*Xm-1m^*Xm^2- \\
 X2^*Xm^2-Xl^*Xm^2 \\
 C4 &= R1m^*R2^*2*Rl+R1m^*Rl^*V^*2*X2^*2+2*R1m^*Rl^*V^*2*X2^*Xm+R1m^*Rl^*V^*2* \\
 Xm^2 \\
 C5 &= R2^*2*X1m+2*R1m^*R2^*X2+2*R2^*Rl^*X2+V^*2*X1m^*X2^*2+R2^*2*Xl+ \\
 V^*2*X2^*2*Xl+2*R1m^*R2^*Xm+R2^*2*Xm+2*R2^*Rl^*Xm+ \\
 2*V^*2*Xlm^*X2^*Xm+V^*2*X2^*2*Xm+2*V^*2*Xl^*Xm+V^*2*X1m^*Xm^2 \\
 +V^*2*X2^*Xm^2+V^*2*Xl^*Xm^2
 \end{aligned}$$

$$\begin{aligned}
 D1 &= -(Rl^*X1m^*X2^*2)-2*R2^*X1m^*X2^*Xl-R1m^*X2^*2*Xl-2*Rl^*X1m^*X2^*Xm- \\
 Rl^*X2^*2*Xm-2*R2^*X1m^*Xl^*Xm-2*R1m^*X2^*Xl^*Xm-2*R2^*X2^*Xl^*Xm- \\
 Rl^*X1m^*Xm^2-Rl^*X2^*Xm^2-R1m^*Xl^*Xm^2-R2^*Xl^*Xm^2 \\
 D2 &= R2^*2*Rl^*X1m+2*R1m^*R2^*Rl^*X2+Rl^*V^*2*X1m^*X2^*2+R1m^*R2^*2*Xl+ \\
 R1m^*V^*2*X2^*2*Xl-2*R1m^*R2^*Rl^*Xm+R2^*2*Rl^*Xm+ \\
 2*Rl^*V^*2*X1m^*X2^*Xm+R^*V^*2*X2^*2*Xm+ \\
 2*R1m^*V^*2*X2^*Xl^*Xm+Rl^*V^*2*Xlm^*R2^*X2^*Xm^2+Rl^*V^*2*X2^*Xm^2+ \\
 R1m^*V^*2*Xl^*Xm^2 \\
 D3 &= 2*R2^*X1m^*X2+R1m^*X2^*2+Rl^*X2^*2+2*R2^*X2*Xl+2*R2^*X1m^*Xm+ \\
 2*R^*X2^*Xm+2*R1m^*X2^*Xm+2*R2^*X2^*Xm+2*R2^*Xl^*Xm+R1m^*Xm^2+ \\
 R2^*Xm^2+Rl^*Xm^2 \\
 D4 &= -(R1m^*R2^*2)-R2^*2*Rl-R1m^*V^*2*X2^*2-Rl^*V^*2*X2^*2-2*R1m^*V^*2*X2^*Xm- \\
 2*Rl^*V^*2*X2^*Xm-R1m^*V^*2*Xm^2-Rl^*V^*2*Xm^2
 \end{aligned}$$